文章编号:1006-9941(2025)04-0384-08

# PBX炸药热分解参数的预测模型构建与应用

曹落霞1,王 浩1,周天字2,黄 谦1,吕子剑1,周 阳1

(1. 中国工程物理研究院化工材料研究所,四川 绵阳 621999; 2. 重庆邮电大学先进制造工程学院,重庆市 南岸区 400065)

摘 要: 为实现慢烤模型在炸药配方与装药行为全链条预测,并消除点火后温度场数值"奇点"问题,采用多组分参数拟合模型,对聚合物粘结炸药 PBX-9501、PBX-9502 及新型 PBX-4 的热分解响应与慢烤特性进行了系统性研究。通过构建组分参数驱动的全过程模拟框架,建立基于 Arrhenius 反应动力学与 JWL 产物气体状态方程的多物理场耦合模型,实现从炸药热分解初态到壳体破裂终态的全过程数值表征。研究结果表明: PBX-9501 和 PBX-9502 的点火时间模拟值与已有实验数据误差分别为 3.4% 和 5.7%,验证了模型的可靠性; PBX-4 的爆响时间预测值与验证实验均值误差仅为 2.3%,验证了模型的泛化能力。通过动态调控产物气体状态参数,成功将爆炸温度稳定在 3328~3502 K的合理区间,解决了已有纯固体烤燃模型中的点火后温度场"奇点"问题。

关键词:聚合物粘结炸药(PBX);烤燃实验;数值模拟;点火;产物膨胀

中图分类号: TJ55;O389

文献标志码: A

DOI: 10.11943/CJEM2025014

# 0 引言

武器弹药在储存、运输以及使用的过程中,有遭受意外火灾的风险。在持续的热载荷作用下,弹药可能发生燃烧、爆炸甚至殉爆等事故。目前对弹药的安全性研究主要有烤燃试验和数值模拟两种手段。慢烤试验作为烤燃试验的一种特定形式,对装药在缓慢热刺激下的宏观响应特性进行直接观测,从而对弹药的热安全性进行评估。数值模拟克服了慢烤试验成本高、周期长、系统数据难以全面准确测量的缺点。因此,发展弹药慢烤的数值模拟评估方法,为合理评估炸药热安全性提供理论依据,是目前国内外工程界和科研界的热点课题。作为弹药主装药,聚合物粘结炸药(PBX)的慢烤特性是弹药热安全性的关键控制因素,国内外已开展系统性研究。1981年,McGuire和Tarver等[1]提出了单质炸药和PBX慢烤过程的化学分

解模型和热传导模型。美国劳伦斯·利弗莫尔实验室 开发的含能材料热化学模块 CHEETAH,通过嵌入 ALE3D等有限元或流体动力学软件中,实现了含能材料慢烤的升温与产物驱动壳体膨胀破碎的全过程模拟<sup>[2]</sup>。在国内,北京理工大学对黑索今(RDX)、三硝基甲苯(TNT)以及 PBX 等多种炸药的慢烤试验进行了数值模拟研究<sup>[3-4]</sup>,中国工程物理研究院以及西安近代化学研究所等机构也建立了 PBX 的慢烤试验数值模拟方法<sup>[5-7]</sup>,对慢烤模拟计算的发展有着重要的指导意义。

目前慢烤实验的数值模拟研究仍存在一些不足, 国外的 CHEETAH 等热化学模块模拟 PBX 时仍依赖实验标定的宏观参数,暂时无法从组分特性反演材料行为,且模拟结果在点火后的高温高压区存在较大误差。 国内目前的研究方法不能实现从配方到装药的慢烤特性预测,从而无法指导 PBX 的配方设计;且目前使用的炸药反应速率模型和升温模型不能解决装药局部点火后出现的温度"奇点"问题。

基于以上问题,本研究开展了PBX慢烤全过程模拟框架的建立工作,采用PBX-9501和PBX-9502对该框架进行了数值模拟验证,并针对新配方的PBX-4进行了实验和模拟结果对比分析,旨在为PBX慢烤特性预测提供有价值的研究思路、计算模型和模拟方法,实

收稿日期: 2025-01-15; 修回日期: 2025-03-16

网络出版日期: 2025-04-08

基金项目: 国家自然科学基金(12202415, 12472371)

作者简介:曹落霞(1987-),男,助理研究员,主要从事含能材料爆 轰安全模型研究。e-mail:lcao@caep.cn

通信联系人:周阳(1980-),男,研究员,主要从事含能材料爆轰安全基础研究。e-mail;zhouy@caep.cn

引用本文: 曹落霞, 王浩, 周天宇, 等. PBX 炸药热分解参数的预测模型构建与应用[J]. 含能材料, 2025, 33(4):384-391.

CAO Luo-xia, WANG Hao, ZHOU Tian-yu, et al. Development and Application of a Prediction Model for Thermal Decomposition Parameters of PBX Explosives [J]. Chinese Journal of Energetic Materials (Hanneng Cailiao), 2025, 33(4):384-391.

现PBX慢烤实验的全过程仿真。

# 1 计算模型

### 1.1 模型基本假设

本研究基于连续介质力学与反应动力学理论,构建了PBX组分参数驱动的跨尺度仿真模型。模型建立遵循以下理论约束与实验规律:首先,基于PBX体系各组分在非冲击条件下的热响应特性,建立宏观性能与微观组分的参数映射关系;其次,通过热-力-化耦合作用分析,确定主导烤燃过程的关键物理场;最后,结合JWL状态方程与壳体失效判据<sup>[8]</sup>,构建全链条仿真流程。具体采用以下基本假设:

- (1)线性混合法则适用性:PBX体系密度、热容等热物理参数满足线性混合关系[1]:
- (2)组分相互作用简化:忽略化学催化效应,仅考虑温度场与热流传递引发的组分间热耦合作用(适用于不含敏化/钝化剂的PBX体系)[8]:
- (3)反应路径简化:基于烤燃过程特征温度范围,假设PBX中各组分的相变等中间反应过程可忽略,可采用单步Arrhenius反应模型描述热分解[1];
- (4)气固界面平衡:反应产物与未反应炸药界面 处满足动态压力平衡与温度连续条件<sup>[9]</sup>:
- (5)产物状态限定:气体产物状态服从JWL方程, 不考虑二次分解引起的物性参数时变效应<sup>[9]</sup>;
- (6)热耗散忽略:不考虑金属壳体向外部环境的 热耗散,仅关注含能材料内部的热量累积与传递。

#### 1.2 模型构建

当组分参数和比例已知时,对于 n种组分的 PBX,由质量守恒可得理论最大密度为:

$$\rho_{\text{TMD}} = \frac{1}{\sum_{i=1}^{n} \frac{W_i}{\rho_i}} \tag{1}$$

式中, $\rho_{TMD}$ 为 PBX 的理论最大密度, $kg \cdot cm^{-3}$ ; $w_i$ 为各组分的质量比,无量纲; $\rho_i$ 为对应组分的密度, $kg \cdot cm^{-3}$ 。

考虑到PBX在压制过程中通常无法完全压密实, 从而不能达到理论密度,故加入密实度参数,则实际密 度为:

$$\rho = r \rho_{\text{TMD}} \tag{2}$$

式中, $\rho$ 为 PBX 的实际密度, $kg \cdot cm^{-3}$ ;r为密实度,无量纲。

根据能量守恒可得,PBX体系的单位质量分解热和热容分别为:

$$Q = \sum_{i=1}^{n} \left( w_i Q_i \right) \tag{3}$$

$$C_{v} = \sum_{i=1}^{n} \left( w_{i} C_{v,i} \right) \tag{4}$$

式中,Q为 PBX 的单位质量分解热, $J \cdot kg^{-1}$ ; $Q_i$ 为各组分的单位质量分解热, $J \cdot kg^{-1}$ ; $C_v$ 为 PBX 的热容, $J \cdot (kg \cdot K)^{-1}$ ; $C_v$ 为各组分的单位质量分解热, $J \cdot (kg \cdot K)^{-1}$ 。

PBX体系的平均热导率近似满足体积平均关系:

$$k = \sum_{i=1}^{n} k_{i} w_{i} \frac{r}{\rho_{i}} \frac{1}{\sum_{i=1}^{n} \frac{w_{i}}{\rho_{i}}}$$
 (5)

式中,k为PBX的热导率, $W \cdot (m \cdot K)^{-1}$ ; $k_i$ 为对应组分的密度, $g \cdot cm^{-3}$ 。

PBX各组分的热分解速率为:

$$\frac{\mathrm{d}\lambda_i}{\mathrm{d}t} = Z_{r,i} \exp\left(-\frac{E_{\mathrm{a},i}}{\mathsf{R}T_i}\right) \tag{6}$$

式中, $\lambda_i$ 为各组分的反应度,无量纲;t为时间,s; $Z_{r,i}$ 为各组分的指前因子, $s^{-1}$ ; $E_{a,i}$ 为各组分的活化能, $J \cdot mol^{-1}$ ; R为摩尔气体常数, $8.314 J \cdot (mol \cdot K)^{-1}$ 。

当反应程度较低时,可近似认为 $w_i$ 不随时间t变化,且局部范围内的温度近似平衡,故整体反应速率可近似为:

$$\frac{\mathrm{d}\lambda}{\mathrm{d}t} = \sum_{i=1}^{n} w_i Z_{r,i} \exp\left(-\frac{E_{\mathrm{a},i}}{\mathsf{R}T}\right) \tag{7}$$

式中, $\lambda$ 为PBX的反应度,无量纲;T为PBX的温度,K。

考虑采用 Arrhenius 形式的温度函数拟合 PBX 混合体系的反应速率,使得:

$$Z_r \exp\left(-\frac{E_a}{RT}\right) \approx \sum_{i=1}^n w_i Z_{r,i} \exp\left(-\frac{E_{a,i}}{RT}\right)$$
 (8)

式中,Z,为 PBX 的指前因子, $S^{-1}$ ; $E_a$ 为 PBX 的活化能, $J \cdot mol^{-1}$ 。由于 PBX 组分的分解温度大多为数百 K,而活化能的量级通常为  $10^5$   $J \cdot mol^{-1}$ ,故可近似认为  $RT_0 \ll E_a$ ,得到 PBX 指前因子和活化能的近似值为:

$$Z_r = \sum_{i=1}^n \left( w_i Z_{r,i} \right) \tag{9}$$

$$E_{\mathbf{a}} = \exp\left[\sum_{i=1}^{n} \left(w_{i} \ln E_{\mathbf{a},i}\right)\right] \tag{10}$$

已有的烤燃实验数值模拟<sup>[2-7]</sup>仅能获得点火前的温度分布与点火时间,整个结构仍全部视为固体,因此既不能描述产物膨胀的后续效应,同时点火后的温度场也会立刻出现计算温度迅速升高至数万 K 甚至更高的奇点。基于已有方法的不足,本研究在已有的慢烤模型基础上,增加了基于 JWL 形式的状态方程描述炸

药分解后的气体反应产物状态:

$$p = A \left( 1 - \frac{\omega}{R_1 v} \right) \exp\left( - R_1 v \right) + B \left( 1 - \frac{\omega}{R_2 v} \right) \exp\left( - R_2 v \right) + \frac{w \varepsilon_0}{v}$$
(11)

式中,A和 B为压力量纲的常数,GPa; R<sub>1</sub>、R<sub>2</sub>和 $\omega$ 为无量纲常数; $\varepsilon$ <sub>0</sub>为单位体积初始比内能,GPa; v为相对体积,无量纲。反应区中混合物的比内能定义为:

$$\varepsilon = (1 - \lambda) \varepsilon_s + \lambda \varepsilon_\sigma + (1 - \lambda) Q \tag{12}$$

体系温度变化受体积压缩和化学反应两部分影响,故体系温度增量可表示为:

$$C_{v,m} dT = d\varepsilon - J dv + H d\lambda$$
 (13)

其中 $C_{V,m}$ 是等效热容,J·(kg·K)<sup>-1</sup>,满足:

$$C_{V,m} = (1 - \lambda)C_V + \lambda C_{V,g} \tag{14}$$

J和 H均为温度计算求解过程的中间变量:

$$J = (1 - \lambda) \frac{d\varepsilon_s}{dv} \Big|_{\tau,\lambda} + \lambda \frac{d\varepsilon_g}{dv} \Big|_{\tau,\lambda}$$
 (15)

$$H = \varepsilon_{s} - \varepsilon_{g} + q - (1 - \lambda) \frac{d\varepsilon_{s}}{d\lambda} \Big|_{T,v} - \lambda \frac{d\varepsilon_{g}}{d\lambda} \Big|_{T,v}$$
 (16)

与已有烤燃模型相比,本模型认为点火后炸药的 气体产物状态以及固体质量的减少对温度的影响不可 忽略,模型对应的程序通过在每个计算步内对产物气 体及固体炸药的压力和温度进行反复迭代,直至界面 单元的气体与固体压力与温度达到平衡。以上模型改进了传统烤燃模型将体系视为固体所带来的点火后温度奇点与计算中断问题。模型的组分基础参数来自小尺寸一维热爆炸(ODTX)试验标定,如表1所示。

#### 1.3 模型验证

为验证模型的可靠性,进行了以下两步工作:

(1)利用表1的组分基础参数,采用公式(1)~(10)计算了传统 HMX 基炸药 PBX-9501、传统 TATB 基炸药 PBX-9502 以及一种新配方 HMX/TATB 混合基炸药 PBX-9502 以及一种新配方 HMX/TATB 混合基炸药 PBX-4的热化学参数,其中 PBX-9501 的组分质量比为 95% HMX、2.5% Estane 5703 和 2.5% 双(2,2-二硝基丙醇)缩甲醛(BDNPA/F)<sup>[21-23]</sup>, PBX-9502 的组分质量比为 95% TATB 和 5% Kel-F 800<sup>[22,24]</sup>, PBX-4 的组分的质量比为 87% HMX、7.8% TATB、2.7% 氟橡胶(fluoropolymer)、1.5% 石蜡(wax)和1.0% As-Gr。美国军用含能材料测试标准 MIL-STD-1751<sup>[21]</sup>认为,压装 PBX 的密实度通常在0.98±0.01,故模拟将压装 PBX 的密实度方0.98。模型得到的热化学参数结果如表2所示。

(2)建立如图 1 所示的有限元仿真模型,采用表 2 的热化学参数,在传统慢烤模型<sup>[2-7]</sup>的基础上,结合公式(11)~(16)和表 3 给出的产物状态方程参数(其中

表1 PBX各组分的材料热化学参数

 Table 1
 Thermal-chemical parameters of PBX components

component	$ ho$ / kg $\cdot$ m $^{-3}$	$C_v/J\cdot(kg\cdot K)^{-1}$	$k/W\cdot(m\cdot K)^{-1}$	$Q/J\cdot kg^{-1}$	$Z_r / s^{-1}$	$E_a / J \cdot mol^{-1}$
HMX [10-12]	1905	1004.62	0.456	5.615×10 <sup>6</sup>	1.5984×10 <sup>12</sup>	1.4322×10 <sup>5</sup>
TATB [10, 12-13]	1930	1088.33	0.536	$2.94 \times 10^{6}$	4.356×10 <sup>11</sup>	1.4196×10 <sup>5</sup>
Estane 5703 [14-16]	1197	1155.00	0.020	$-3.98 \times 10^6$	7.896×10 <sup>13</sup>	1.6118×10 <sup>5</sup>
BDNPA/F [15-17]	1411	1315.00	0.325	$2.825 \times 10^{3}$	2.1464×10 <sup>14</sup>	1.6383×10 <sup>5</sup>
Kel-F 800 [12, 15]	2020	1000.43	0.053	-5.871×10 <sup>4</sup>	9.9349×10 <sup>17</sup>	2.7233×10 <sup>5</sup>
fluoropolymer [18-19]	1941	1000.41	0.053	-5.263×10 <sup>4</sup>	2.692×10 <sup>20</sup>	2.9476×10 <sup>5</sup>
wax <sup>[15, 20]</sup>	915	2190.00	0.210	2.2×10 <sup>5</sup>	1.91×10 <sup>10</sup>	9.2397×10 <sup>4</sup>
As-Gr <sup>[14-15]</sup>	6000	330.00	50.200	6.0×10 <sup>6</sup>	1.5×10 <sup>12</sup>	5.0×10 <sup>5</sup>
Al6601-T6 [14]	2700	896.00	167.000	/	/	/
steel [14]	8030	1611.00	51.000	/	/	/

Note:  $\rho$  is density,  $C_v$  is specific heat; k is thermal conductivity; Q is decomposition heat per unit mass;  $Z_r$  is pre-exponential factor and  $E_a$  is activation energy.

表 2 PBX-9501和PBX-9502慢烤试验的数值模拟材料参数

 Table 2
 PBX model parameters for slow-cook off simulations

charge	r	$\rho$ / kg·m <sup>-3</sup>	$C_v/J \cdot (kg \cdot K)^{-1}$	$k/W \cdot (m \cdot K)^{-1}$	$Q/J\cdot kg^{-1}$	$Z_r / s^{-1}$	$E_a / J \cdot mol^{-1}$
PBX-9501	0.98	1842	1016.14	0.4260	5.334×10 <sup>6</sup>	8.858×10 <sup>12</sup>	1.441×10 <sup>5</sup>
PBX-9502	0.98	1896	1083.94	0.5026	2.793×10 <sup>6</sup>	4.967×10 <sup>16</sup>	1.467×10 <sup>5</sup>
PBX-4	0.98	1852	1022.07	0.5886	5.178×10 <sup>6</sup>	7.268×10 <sup>18</sup>	1.468×10 <sup>5</sup>

Note: *r* is compactness (actual density to theoretical maximum density).

表3 PBX-9501和PBX-9502产物的JWL状态方程参数

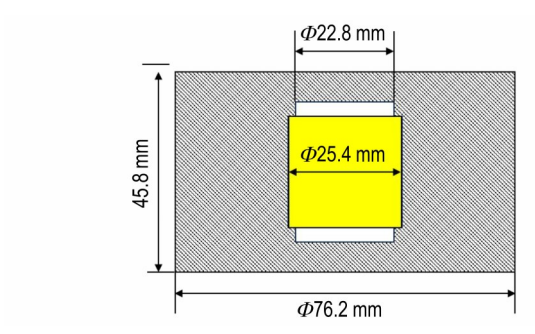
 Table 3
 JWL model parameters of PBX products

charge	$C_{V,g}/J\cdot(kg\cdot K)^{-1}$	A / GPa	B / GPa	$R_1$	$R_2$	ω	<i>E</i> <sub>0</sub> / GPa
PBX-9501 [14]	1000	852.4	18.02	4.55	1.3	0.38	10.2
PBX-9502 [14]	1000	460.3	9.544	4.0	1.7	0.48	7.07
PBX-4	1000	652.7	9.678	4.3	1.1	0.35	9.8

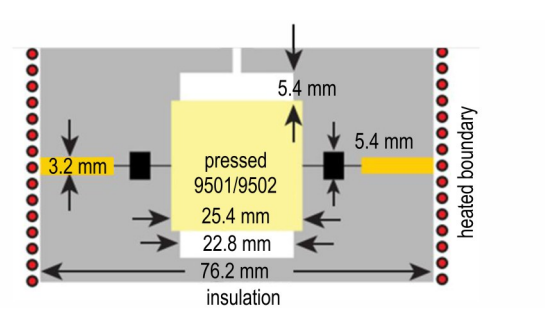
Note:  $C_{v,\sigma}$  is gas specific heat; A, B,  $R_1$ ,  $R_2$  and  $\omega$  are JWL model constants and  $E_0$  is detonation energy density.

PBX-9501和PBX-9502的产物状态方程参数来自参数手册<sup>[14]</sup>,PBX-4的产物状态方程参数则通过圆筒实验标定),对PBX-9501和PBX-9502样品的桑迪亚仪器化热点火(SITI)的慢烤试验<sup>[23-25]</sup>进行数值仿真:将PBX样品放置于如图1a所示的Al6601-T6铝壳中并对壳体侧表面加热,以模拟图1b所示的真实慢烤实验,并将仿真得到的升温速率曲线与Hobbs等<sup>[23-24]</sup>的

实验结果进行对比;对PBX-4进行恒定加热速率的慢 烤试验仿真:将PBX-4样品放置于如图 2a 所示的 Q235 钢壳体中并对壳体侧表面加热,其升温速率为 3 K·min<sup>-1</sup>。为验证仿真结果的可靠性,本研究采用 图 2b 所示的装置对真实PBX-4样品开展了五次慢烤 实验,其实验样品的组分、加热弹构型与材料以及外壳 升温速率均与数值仿真保持一致。



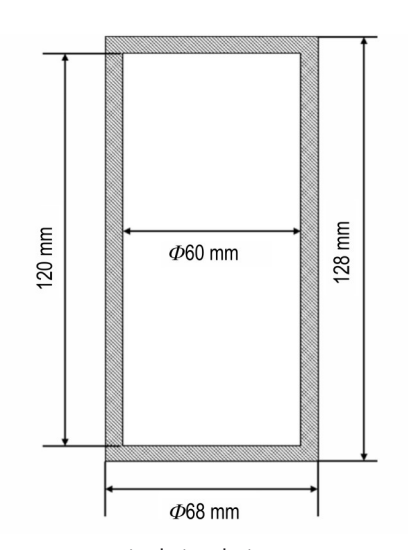
a. numerical simulation geometry



**b.** experimental setup [23-24]

图 1 PBX-9501 和 PBX-9502 的 SITI 慢烤仿真模型与实验装置示意图

Fig.1 Diagrams of the SITI simulations and experiments for PBX-9501 and PBX-9502



a. numerical simulation geometry

b. experimental setup

# 图 2 PBX-4 的慢烤仿真模型与实验装置示意图

1一下夹板,2一支座垫圈,3一壳体,4一PBX-4,5一上夹板,6一开孔螺栓,7一顶盖,8一螺栓

Fig.2 Diagrams of the slow cook-off simulations and experiments for PBX-4

1—lower clamp plate, 2—support washer, 3—housing shell, 4—PBX-4, 5—upper clamp plate, 6—drilled bolt, 7—top cover, 8—bolt

# 2 结果与讨论

## 2.1 PBX-9501和PBX-9502的SITI仿真结果

表 4 给出了使用本研究的拟合模型得到的PBX-9501和PBX-9502热参数进行SITI慢烤试验仿真的结果,并将PBX-9501和PBX-9502的仿真结果与文献实验结果[<sup>23-25]</sup>进行了对比。

从表 4 可知,使用本研究的拟合模型对 PBX-9501和 PBX-9502的点火时间模拟值分别为 5493 s(与试验相差 3.4%)和 2372 s(试验相差 5.7%),点火温度模拟值分别为 459 K(与试验相差 3.6%)和 546 K(与试验相差 1.1%),模拟得到的温度曲线也与文献实验曲线趋势一致,如图 3a 和图 3b 所示。模拟显示 PBX 在点火后迅速分解导致了产物气体的迅速增加,慢烤装置的壳体受到产物膨胀的压力作用而发生,进而在壳

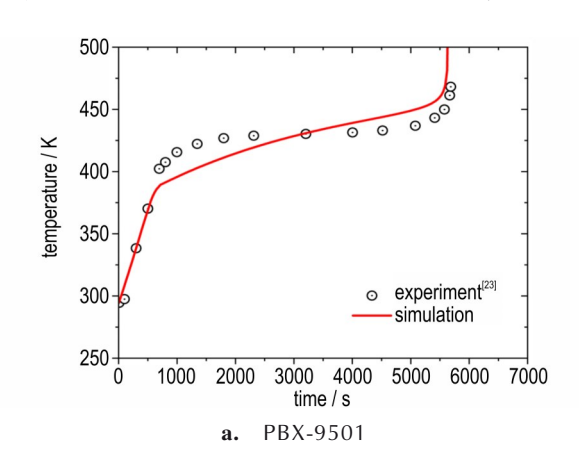


图3 实验和模拟得到的PBX样品中心温度随时间变化曲线

体顶部薄弱处产生裂纹,最终壳体发生破碎并形成破片,如图 4 所示,其裂纹产生的位置与文献报道一致<sup>[23-24]</sup>。本模型进行 SITI 试验进行数值仿真得到 PBX-9501 的爆炸温度为 3328 K,PBX-9502 的爆炸温度为 3502 K,与爆轰温度的试验测量值<sup>[25]</sup>在量级上一致,证实本模型可以有效描述 PBX 点火后的产物膨胀,避免模拟点火后出现温度畸高的奇点。

表 4 各装药的点火时间和爆炸温度

 Table 4
 Ignition time and blast temperature of each sample charge

		time to	ignition	explode
charge		ignition	temperature	temperature
		/ s	/ K	/ K
PBX-9501	simulation	5493	459	3328
	experiment [23, 25]	5685	443	2364-2853
PBX-9502	simulation	2372	546	3502
	experiment [24-25]	2244	540	1887-2477

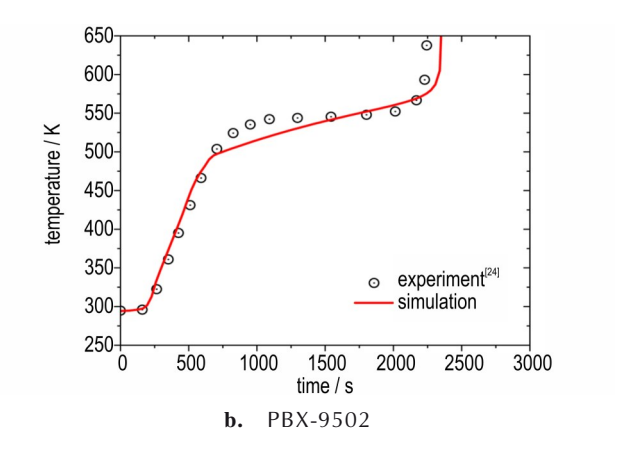
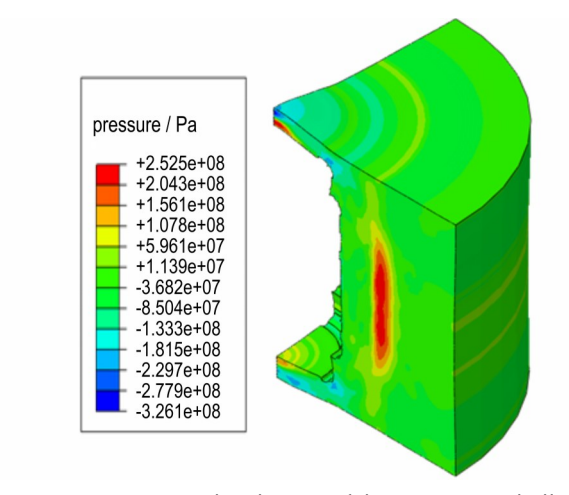
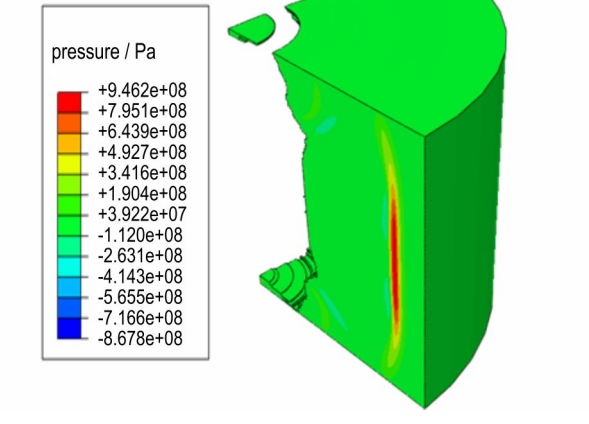


Fig.3 Experimental and simulation temperature vs. time curves measured at the PBX sample center



**a.** pressure distribution of the PBX-9501 shell

图 4 PBX-9501 和 PBX-9502 点火后的壳体破碎模拟结果



**b.** pressure distribution of the PBX-9502 shell

Fig.4 Simulation results of the shell fracture of PBX-9501 and PBX-9502 after ignition

#### 2.2 PBX-4的慢烤仿真与实验结果

将 PBX-4 的仿真结果与慢烤验证实验结果进行了对比,表5为5次实验的具体结果。PBX-4点火前的模拟结果显示,当加热至 4953 s时,炸药温度陡然上升,证明此时发生了点火,炸药的点火位置为上下端面边缘,点火温度为538 K;实验得到的平均点火时间为5068 s,点火时壳体平均温度为528 K。模拟预测得到的 PBX-4 的点火爆响时间与五次试验平均值的误差为2.3%;模拟预测得到的点火温度与五次试验平均值的误差为1.9%。

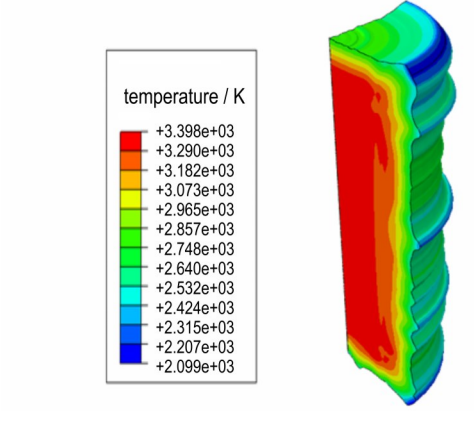
PBX-4点火后的模拟结果显示,点火后 10 μs 内炸药迅速分解,导致产物剧烈膨胀并撕裂壳体发生爆响。

图 5a 为模拟得到的爆响时刻 PBX-4产物温度分布,点火后的爆响温度(点火至爆响过程中 PBX 的局部最高温度)为 3398 K,与 HMX/TATB 基炸药爆轰温度的经验结果在量级上一致。图 5b 为模拟得到的爆响时刻 PBX-4产物膨胀撕裂壳体的图像,产物膨胀导致壳体首先在上下端面边缘的拐角附近产生应力集中,从而壳体在该位置首先发生拉伸断裂;实验得到 PBX-4爆响时的反应烈度为爆燃或爆炸,爆响后上下夹板凸起变形,底盖脱落,壳体破裂形成数个较大破片,端盖膨胀变形,如图 6 所示。模拟得到的壳体破坏形式与实验结果基本一致。由此可见,本研究建立的参数预测方法与数值模拟方法都是可靠的。

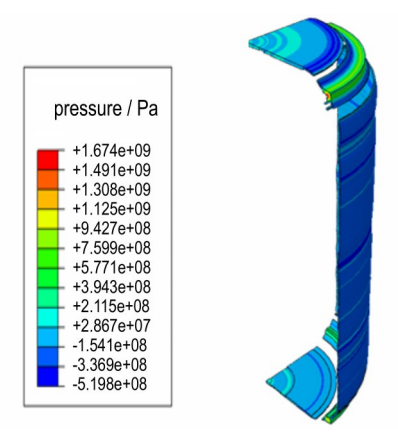
表5 PBX-4慢烤实验现象

 Table 5
 Experimental results of PBX-4 slow cook-off tests

experiment No.	$ ho$ / kg·m $^{-3}$	explode temperature / K	time to explode / s	overpressure / kPa	TNT equivalent / g	reaction type
1	1846	539	5040	20.7	26	deflagration
2	1842	534	5160	17.8	19	deflagration
3	1.851	526	5120	21.1	27	deflagration
4	1.843	515	5160	24.9	38	explosion
5	1.845	527	4860	21.6	29	deflagration







**b.** pressure distribution of the shell

图 5 PBX-4 点火后的产物温度分布和壳体破碎模拟结果

Fig. 5 Simulation results of the product temperature distribution and shell fracture of PBX-4 after ignition



图 6 爆响后回收工装及样品照片

Fig.6 Recovered shells and samples after explode reaction



# 3 结论

针对目前国内烤燃实验的数值模拟研究在的不足,本研究开展了基于配方预测宏观性能的PBX慢烤全过程模拟研究,初步实现了从配方到装药的热力学行为预测,同时解决装药局部点火后出现的温度"奇点"问题,计算了PBX烤燃点火至爆炸过程中的装药爆炸温度,具体结论如下:

- (1)在已知组分参数时,通过质量守恒与能量守恒,推导了PBX的整体密度与热参数;将Arrhenius形式的反应速率函数对进行近似与泰勒级数形式的拟合,得到了Arrhenius形式的PBX整体化学反应速率模型参数,该模型适用于不含敏化/钝化剂的PBX体系,其组分间仅存在热力学耦合效应,暂不涉及催化反应动力学过程,为常规配方PBX的烤燃安全评估提供了普适性框架。
- (2)使用拟合得到的PBX整体热化学参数,可以有效模拟PBX慢烤升温过程,三种PBX的模拟点火时间与真实慢烤实验结果吻合较好,其模拟点火温度为564~619 K,与实验结果的误差小于5.7%。
- (3)结合反应产物的状态方程,可以有效模拟PBX 慢烤至点火后的产物膨胀过程,解决了纯固体烤燃计算模型在点火后出现极高的温度"奇点"问题,三种PBX的模拟爆炸温度为3328~3502 K,与经验结果在量级一致。

#### 参考文献:

- [1] MCGUIRE R, TARVER C M. Chemical-decomposition models for the thermal explosion of confined HMX, TATB, RDX and TNT Explosives[R]. Processing of 7th Symposium (International) on Detonation UCRL-84986, 1981.
- [2] NICHOLS A L. Improved Cook-off modeling of multi-component cast explosives[R]. Proceeding of 20th Biennial Conference of the APS Topical Group on Shock Compression of Condensed Matter LLNL-CONF-737694, 2017.
- [3] 冯长根, 张蕊,陈朗. RDX 炸药热烤实验及数值模拟[J]. 含能材料, 2004, 12(4): 193-198.
  FENG Chang-gen, ZHANG Rui, CHEN Lang. Hot baking experiment and numerical simulation of RDX explosive[J]. Chinese Journal of Energetic materials (Hanneng Cailiao), 2004, 12(4): 193-198.
- [4] 陈朗, 王沛, 冯长根. 考虑相变的炸药烤燃数值模拟计算[J]. 含能材料, 2009, 17(5): 568-573.

  CHEN Lang, WANG Pei, FENG Chang-gen. Numerical simulation of explosive burning considering phase change [J]. Chinese Journal of Energetic Materials (Hanneng Cailiao), 2009, 17(5): 568-573.
- [5] 陈科全, 黄亨建, 路中华,等. 基于ABAQUS的 PBX 炸药拷燃试

- 验数值计算[J]. 火炸药学报, 2014, 37(2): 31-36.
- CHEN Ke-quan, HUANG Heng-jian, LU Zhong-hua, et al. Numerical calculation of PBX explosive cutoff test based on ABAQUS [J]. *Chinese Journal of Explosives & Propellants*, 2014, 37(2): 31–36.
- [6] 蒲翰涛. 典型炸药烤燃试验中多步化学反应动力学研究[D]. 绵阳: 中国工程物理研究院硕士论文, 2016.
  PU Han-tao. Study on multi-step chemical reaction kinetics in Typical explosive Burning Test[D]. Mianyang: Master Thesis of China Academy of Engineering Physics, 2016.
- [7] 邓海,李刚,任新联,等.某含能黏结剂PBX炸药烤燃特性的数值模拟与实验研究[J]. 兵器装备工程学报,2022,43(8):7-12.
  - DENG Hai, LI Gang, REN Xin-lian, et al. Numerical simulation and experimental study on slow cook-off characteristics of energetic binder PBX explosive [J]. *Journal of Ordnance Equipment Engineering*, 2022, 43(8): 7–12.
- [8] 周阳, 龙新平, 舒远杰. 均聚类含能黏结剂的研究进展[J]. 含能材料, 2010, 18(1): 115-120.
  ZHOU Yang, LONG Xin-ping, SHU Yuan-jie. Review on Homopolymer of Energetic Binders[J]. Chinese Journal of Energetic Materials(Hanneng Cailiao), 2010, 18(1): 115-120.
- [9] LEE E L, TARVER C M. Phenomenological model of shock initiation in heterogeneous explosives[J]. *Physics of Fluids*, 1980, 23(12): 2362–2372.
- [10] GIBBS T R, POPOLATO A. LASL Explosive property data [M]. University of California Press, 1980.
- [11] 马欣,陈朗. HMX基混合炸药烤燃特性及多步热反应计算[J]. 兵工学报, 2015, 36(Suppl. 1): 334-342. MA Xin, CHEN Lang. Calculation of burning characteristics and multi-step thermal reaction of HMX-based mixed explosive[J]. Ordnance Engineering journal, 2015, 36(Suppl.1): 334-342.
- [12] 马欣,陈朗,鲁峰,等. HMX 烤燃条件下 HMX/TATB 基混合炸药多步热分解反应计算[J]. 爆炸与冲击, 2014, 34(1): 67-74. MA Xin, CHEN Lang, LU Feng, et al. Calculation of multi-step thermal decomposition reaction of HMX/TATB based mixed explosive under HMX burning condition [J]. Explosion and Shock, 2014, 34(1): 67-74.
- [13] FAN, H, LONG Y, DING L, et al. A theoretical study of elastic anisotropy and thermal conductivity for TATB under pressure [J]. *Computational Materials Science*, 2017, 131: 321–332.
- [14] 辛春亮,薛再清,涂建,等. 有限元分析常用材料参数手册 [M]. 机械工业出版社, 2019.

  XIN Chun-liang, XUE Zai-qing, TU Jian, et al. Parameter Manual of commonly used materials for Finite Element Analysis [M]. China Machine Press, 2019.
- [15] 张杏芬, 国外火炸药原材料性能手册[M]. 兵器工业出版社, 1991.

  ZHANG Xing-fen, Foreign explosive Material Properties Manu-

al [M]. Ordnance Industry Press, 1991.

- [16] EDGAR A, YANG J, CHAVEZ M, et al. Physical characterization of Bis(2, 2-dinitropropyl) acetal and Bis(2, 2-dinitropropyl) formal [J]. *Journal of Energetic Materials*, 2020, 38(4): 483–503.
- [17] TARVER C M, TRAN T D. Thermal decomposition models for HMX-based plastic bonded explosives [J]. *Combustion and Flame*, 2004, 137: 50-62.

- [18] 高大元,何碧,何松伟,等. 氟橡胶 F2314 黏结剂的热分解动力 学[J]. 火炸药学报, 2006, 29(5): 29-31. GAO Da-yuan, HE Bi, HE Song-wei, et al. Thermal Decom-
  - GAO Da-yuan, HE BI, HE Song-wei, et al. Thermal Decomposition Kinetics of F2314 Bonder[J]. *Chinese Journal of Explosives & Propellants*, 2006, 29(5): 29–31.
- [19] 何志伟, 王洋, 刘锋, 等. 2,6-二氨基-3,5-二硝基吡啶-1-氧化物基 PBX 的 热 安 全 性 研 究 [J]. 火 炸 药 学 报 , 2020, 43(2): 173-179.
  - HE Zhi-wei, WANG Yang, LIU Feng, et al. Thermal safety of 2, 6-diamino-3, 5-dinitropyridine-1-oxide based PBX [J]. *Chinese Journal of Explosives & Propellants*, 2020, 43(2):173–179.
- [20] KRAIEM M, KARKRI M, FOIS M, et al. Thermophysical characterization of paraffins versus temperature for thermal energy storage[J]. *Buildings*. 2023, 13(4): 877.
- [21] Department of Defense. MIL-STD-1751 (USAF): Safety and

- performance tests for Qualification of explosives[S], Washington DC: Military Standard, 1982.
- [22] POPOLATO A, RUMINER J J, VIGIL A S. Thermal response of explosives subjected to external heating [R]. Los Alamos National Lab., 1979.
- [23] HOBBS M L, KANESHIGE M J, ERIKSON W W. Modeling the measured effect of a nitroplasticizer (BDNPA/F) on cookoff of a plastic bonded explosive (PBX 9501) [J]. *Combustion and Flame*, 2016, 173: 132–150.
- [24] HOBBS M L, KANESHIGE M J. Ignition experiments and models of a plastic bonded explosive (PBX 9502) [J]. *Journal of Chemical Physics*, 2014, 140: 124203.
- [25] DOBRATZ B M, LLNL Explosives Handbook: Properties of Chemical Explosives and Explosive Simulants [M]. University of California Press, 1985.

# Development and Application of a Prediction Model for Thermal Decomposition Parameters of PBX Explosives

### CAO Luo-xia<sup>1</sup>, WANG Hao<sup>1</sup>, ZHOU Tian-yu<sup>2</sup>, HUANG Qian<sup>1</sup>, Lü Zi-jian<sup>1</sup>, ZHOU Yang<sup>1</sup>

(1. Institute of Chemical Materials, China Academy of Engineering Physics, Mianyang 621999, China; 2. School of Advanced Manufacturing Engineering, Chongqing University of Posts and Telecommunications, Chongqing 400065, China)

**Abstract:** To overcome the limitations of conventional cook-off models in full-chain prediction of explosive formulations and charge behaviors while eliminating post-ignition temperature field singularities, a multi-component parameter fitting model was systematically applied to investigate the thermal decomposition response and cook-off characteristics of polymer-bonded explosives (PBX-9501, PBX-9502, and novel PBX-4). A component parameter-driven full-process simulation framework was established through coupled multi-physics modeling integrating Arrhenius reaction kinetics with the JWL product gas equation of state, enabling numerical characterization from initial thermal decomposition to final casing rupture. Validation results demonstrated that ignition time prediction errors for PBX-9501 and PBX-9502 were 3.4% and 5.7% respectively compared with experimental data. Ignition time deviation for PBX-4 prediction reached 2.3% against validation experiments. Dynamic regulation of product gas parameters stabilized explosion temperatures within 3328–3502 K, effectively resolving temperature singularity issues inherent in traditional solid-phase cook-off models.

**Key words:** polymer-bonded explosives (PBX); cook-off tests; numerical simulations; ignition; product expansion

**CLC number:** TJ55;O389 **Document code:** A **DOI:** 10.11943/CJEM2025014

Grant support: National Natural Science Foundation of China (Nos. 12202415, 12472371)

(责编:高毅)